

СТАТЬИ

УДК 621.039.51

Сравнение расчетов двумерной модели быстрого реактора

ВОРОПАЕВ А. И., ЧУХЛОВА О. П., ВАНЬКОВ А. А., КУДРЯШОВ Л. Н., НИКОЛЬСКИЙ Р. В.

В 1976 г. Европейско-американским комитетом по реакторной физике (NEACRP) была выработана спецификация двумерной ($R - Z$) тестовой модели быстрого реактора мощностью 1200 МВт(эл.) для сравнения полученных в разных странах основных физических характеристик, определяющих экономику и безопасность проектируемых коммерческих быстрых реакторов с натриевым теплоносителем [1].

Активная зона объемом 10 м³ содержит две равновеликие подзоны разного обогащения. Высота активной зоны 102 см. Объемные доли топлива, натрия и стали: 41, 38 и 21 %. Топливо — гомогенная смесь UO₂ — PuO₂. Изотопный состав плутония следующий: 67,8 % ²³⁹Pu; 19,4 % ²⁴⁰Pu; 10,3 % ²⁴¹Pu; 2,5 % ²⁴²Pu. Толщина торцевого экрана 33 см, бокового — 47 см. Сырьевой материал — окись отвального урана. Расчетная модель соответствует началу работы реактора на мощности, т. е. в реакторе отсутствуют продукты деления и плутоний в экранах.

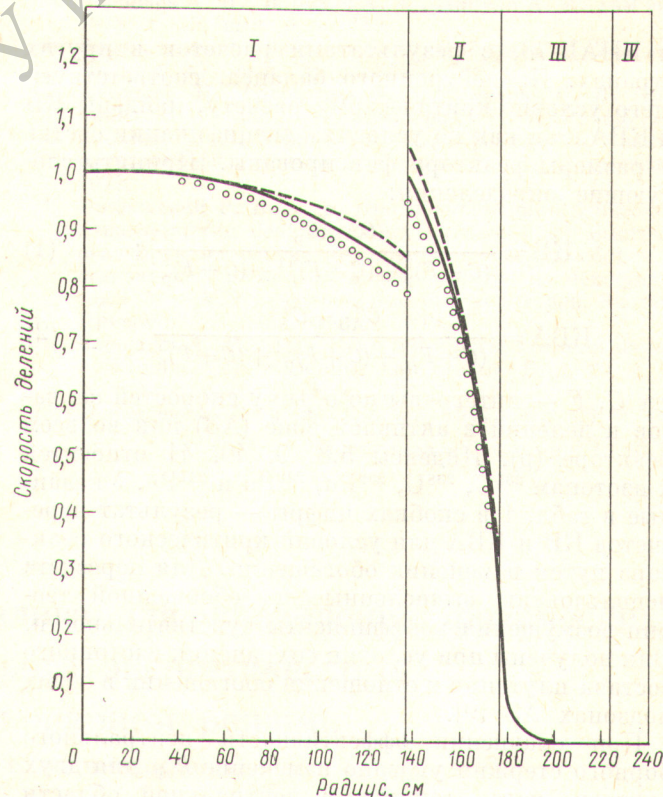
Систематизация расчетов, поступивших из разных стран, проведена в Аргонской национальной лаборатории [2]. Результаты расчетов этой тестовой модели по системе констант БНАБ-70, представленные СССР, изложены в работе [3]. Там же дано более подробное описание модели и деталей расчета.

В настоящее время в практике расчетов быстрых реакторов в СССР начинает широко использоваться новая система констант БНАБ-78 [4], базирующаяся на последних оценках микроскопических ядерных данных и согласованная с результатами основных экспериментов по балансу нейтронов на урановых и плутониевых критических сборках. Поэтому представляют интерес тестовые расчеты с использованием этой системы констант и их сравнение с аналогичными расчетами по другим системам. Такое сравнение для сферической тестовой модели реактора проводилось в работах [5,6]. Ниже представлены результаты для двумерной тестовой модели большого реактора-размножителя (модель NEACRP).

Приведенные результаты расчетов по БНАБ-70 и БНАБ-78 получены с помощью вычислительной системы НФ-6 [7], в которой реализованы

конкретные алгоритмы подготовки групповых макроскопических констант. Учет эффекта резонансной самоэкранировки и расчет сечения замедления сделаны в определенных приближениях. Погрешность за счет этих приближений оценивается (см., например, [8]) такими значениями: $\pm 0,5\%$ для $k_{\text{эфф}}$; $\pm 0,03$ для физического коэффициента воспроизводства реактора (КВ) и коэффициента воспроизводства активной зоны (КВА); $\pm 10\%$ для коэффициентов реактивности.

В табл. 1 и на рисунке сравниваются результаты расчетов тестовой модели, проведенные в СССР с использованием системы констант БНАБ-70



Распределение плотности тепловыделения в центральной плоскости реактора: I — зона малого обогащения; II — зона большого обогащения; III — боковой экран; IV — отражатель из стали и натрия; — СССР (БНАБ-78); — США; ○ — Франция

Таблица 1

Сравнение расчетов основных физических характеристик тестовой модели быстрого реактора

Страна	Параметры критичности и воспроизведения			Эффективность центрального борного стержня, % $k_{\text{эфф}}$		Эффект удаления натрия, % $k_{\text{эфф}}$			Изменение $k_{\text{эфф}}$ при нагреве топлива от 1100 К до 2200 К, %	
	$k_{\text{эфф}}$	КВ	КВА	по отношению к топливу	по отношению к натрию	из зоны малого обогащения	из всей активной зоны и торцового экрана	из всей активной зоны и торцового экрана «горячего» реактора	исходная композиция	при удалении натрия из активной зоны и торцового экрана
СССР:										
БНАБ-70	1,009	1,48 (1,50)	1,06 (1,07)	-0,47	-0,39	1,9	1,7	2,0	-0,65	-0,34
БНАБ-78	1,012	1,39 (1,42)	0,98 (0,99)	-0,37	-0,31	2,1	2,0	2,2	0,58	-0,36
Англия	1,022	1,36 (1,42)	0,95 (0,97)	-0,40	-0,33	2,1	2,1	2,4	-0,74	-0,45
США	0,993	1,39 (1,37)	0,99 (0,98)	-0,33	-0,28	2,4	2,4	2,7	-0,71	-0,46
Франция	1,013	1,39 (1,42)	0,98 (0,99)	-0,38	-0,36	2,2	2,2	2,5	-0,71	-0,48
ФРГ	1,024	1,36 (1,42)	0,96 (0,98)	-0,40	-0,34	2,0	1,9	2,1	-0,65	-0,42
Япония	1,014	1,36 (1,39)	0,96 (0,97)	-0,32	-0,26	2,4	2,5	2,7	-0,78	-0,53
Среднее значение по зарубежным лабораториям	1,013	1,37 (1,40)	0,97 (0,98)	-0,37	-0,31	2,3	2,2	2,5	-0,72	-0,47

Примечание. Цифры в скобках — результат для условий критического реактора (см. текст).

и БНАБ-78, с результатами расчетов в других странах. Из нейтронного баланса, соответствующего условно-критическому расчету, найдены КВ и КВА, так как по условиям спецификации состав и размеры реактора фиксированы. Приняты следующие определения:

$$KB = \frac{C_p^8 + C_p^{40}}{(C+F)_p^9 + (C+F)_p^{41} + (C+F)_p^5}; \quad (1)$$

$$KVA = \frac{C_{A3}^8 + C_{A3}^{40}}{(C+F)_p^9 + (C+F)_p^{41} + (C+F)_p^5}, \quad (2)$$

где C , F — интегралы по объему скоростей захватов и делений в активной зоне (A_3) или во всем реакторе (p). Индексы 5, 8, 9, 40, 41 относятся к изотопам ^{235}U , ^{238}U , ^{239}Pu , ^{240}Pu и ^{241}Pu . Указанные в табл. 1 в скобках цифры — результат пересчетов КВ и КВА для условий критического реактора путем изменения обогащения. Для пересчета использованы вычисленные по обобщенной теории возмущения коэффициенты чувствительности. Они получены при условии сохранения изотопного состава плутония и отношения обогащений в обеих подзонах A_3 [9].

При сравнении эффективности центрального борного стержня указано изменение $k_{\text{эфф}}$ для двух случаев, когда топливо в центральной области реактора ($R = 7,2$ см; $H = H_{A3}$) заменено на борный стержень и когда борный стержень помещен в центральную область, заполненную натрием. Здесь же даны результаты расчетов изменения

$k_{\text{эфф}}$ при удалении натрия из различных частей реактора. «Горячему» реактору соответствуют сечения изотопов урана и плутония при 2200 К (для всех предыдущих вариантов $T=1100$ К).

Далее в табл. 1 сравниваются расчеты изменения $k_{\text{эфф}}$ при нагреве топлива АЗ от 1100 до 2200 К. Цифры в предпоследней колонке соответствуют исходной композиции, в последней — реактору, из активной зоны и торцового экрана которого удален натрий.

На рисунке показано распределение плотности тепловыделения (без учета γ -излучения) в центральной плоскости реактора. Расчет по БНАБ-70 практически совпадает с расчетом по БНАБ-78 (максимальное различие не превышает 3 %). Результаты расчетов США и Франции являются граничными, между которыми находятся результаты других стран.

На основании сказанного можно сделать следующие выводы.

- Переход от системы констант БНАБ-70 к системе БНАБ-78 привел к уменьшению КВ на 0,08, что целиком обусловлено уменьшением воспроизведения в активной зоне. Эффективный коэффициент размножения изменился незначительно (+ 0,3 % $k_{\text{эфф}}$). Эффективность центрального борного стержня уменьшилась приблизительно на 25 %. Более положительным стал натриевый пустотный эффект. Изменения КВ, КВА и $k_{\text{эфф}}$ хорошо согласуются с выводами, вытекающими из анализа экспериментов на больших плу-

Таблица 2

Сравнение оценок погрешности расчета физических параметров большого быстрого реактора

Параметр	Исходя из погрешностей ядерных данных	Максимальный разброс результатов тестового расчета
k_{eff}	$\pm 2 \%$	2,7 %
КВ	$\pm 0,06$	0,05
Эффективность борного стержня	$\pm 10 \%$	20 %
Удаление натрия	$\pm 30 \%$	30 %
Нагрев топлива	$\pm 30 \%$	30 %
Тепловыделение в единице объема АЗ	$\pm 5 \%$	10 %

тониевых сборках [10, 11], и результатами международных тестовых расчетов одномерной модели быстрого реактора с объемом активной зоны $2,5 \text{ м}^3$ [5, 6]. Отметим, что хорошее совпадение критичности двумерной модели в расчетах по системам БНАБ-70 и БНАБ-78—следствие компенсации повышенного вклада в реактивность ^{241}Pu ($\sim 1,5 \% k_{\text{eff}}$) и заниженного вклада ^{238}U и ^{239}Pu в системе констант БНАБ-70.

2. Расчеты по системе БНАБ-78 значений k_{eff} , КВ, КВА, эффективности борного стержня, натриевого пустотного эффекта лучше, чем расчеты по БНАБ-70, согласуются с результатами зарубежных лабораторий. Однако изменение реактивности при нагреве топлива в расчетах по системе БНАБ-78 на 25 % меньше всех зарубежных данных.

3. В табл. 2 сравниваются оценки погрешности расчета основных физических параметров большого быстрого реактора, полученные на основе анализа имеющихся на сегодня погрешностей микроскопических и интегральных ядерных данных [8], с разбросом расчетных результатов в рассмотренной тестовой модели. Близость тех и других свидетельствует о реалистичности приведен-

ных в работе [8] оценок погрешности основных реакторных параметров. Их можно использовать в проектных расчетах промышленных быстрых реакторов с окисным топливом и натриевым теплоносителем. Однако следует ожидать увеличения в 2–3 раза погрешности расчета этих параметров для реактора с другим теплоносителем, другим видом топлива или с отличной от традиционной конструкцией схемой размещения зон воспроизводства [9]. Причина этого заключается в том, что используемые в проектных реакторных расчетах системы констант подогнаны для наилучшего описания экспериментов на критических сборках и работающих реакторах-размножителях с традиционной композицией.

Авторы благодарны М.Ф. Троянову за поддержку и обсуждение работы на всех ее этапах.

СПИСОК ЛИТЕРАТУРЫ

- Till C., LeSage L., Wade D. Specifications for an International Comparison Calculation of a Large Sodium-Cooled Fast Breeder Reactor. Technical Note, ANL, Aug., 1976.
- LeSage L. e.a. In Proc: ANS Topical Conf. on Advances in Reactor Physics. Gatlinburg, 10–12 Apr. 1978.
- Чухлова О. П. и др. Препринт ФЭИ-802. Обнинск, 1977.
- Абагян Л. П. и др. «Атомная энергия», 1980, т. 48, вып. 2, с. 117.
- Воронаев А. И., Ваньков А. А., Цибуля А. М. Там же, 1978, т. 45, вып. 6, с. 119.
- Воронаев А. И., Ваньков А. А., Цибуля А. М. Там же, 1979, т. 47, вып. 4, с. 274.
- Зизин М. Н., Савочкина О. А., Чухлова О. П. Препринт П-40 (334). Димитровград, НИИАР, 1977.
- Ваньков А. А., Воронаев А. И., Юрова Л. Н. Анализ реакторно-физического эксперимента. М., Атомиздат, 1977.
- Никольский Р. В. и др. Прогнозирование физических характеристик перспективных активных зон быстрых реакторов на основе анализа критических сборок и стандартных расчетных моделей. Докл. на междунар. симп. МАГАТЭ по физике быстрых реакторов. Экстанс-Прованс, 24–28 сентября 1979.
- Воронаев А. И. и др. В кн.: Вопросы атомной науки и техники. Сер. «Ядерные константы». Вып. 20, ч. 2. М., Атомиздат, 1975, с. 112.
- Воронаев А. И. и др. Там же, 1977, вып. 25, с. 69.

Поступила в Редакцию 15.10.79

УДК 662.039.526

Методика расчета выгорания топлива для определения физических характеристик быстрого энергетического реактора в стационарном режиме

ЧУСЫНИН Г. Б., ЧИРКОВ В. А.

Воспроизводящие свойства быстрого энергетического реактора определяют его физические характеристики: коэффициент воспроизведения КВ, время удвоения T_2 , темп роста ω , удельную за-

грузку плутония в топливный цикл G , удельное количество избыточного плутония r [1]. Поскольку эти характеристики зависят от изотопного состава топлива, целесообразен унифицирован-